

## 確率的震動を考慮したモデルによる埋設管の地震応答に関する考察

東北大学工学部 正会員 佐武正雄  
同 上 正会員 岸野佑次  
同 上 正会員 ○浅野照雄  
新日本製鐵(株) 正会員 鈴木昭信

### 1. まえがき

1978年宮城県沖地震では、ガス・水道等の埋設管の被害は地山と埋立との境界付近に多く発生した。これは、二つの異種地盤の地震時の挙動が互いに異なるために、埋設管に不均一な外力が働くいた結果だと思われる。このように、埋設管の耐震性を考える上で、外力がどのように働くかが重要な問題となるが、一方、埋設管の地震応答解析を行なうためには、モデル化に必要な地盤や管体・継手の剛性はどう扱うかが問題となる<sup>2)</sup>。しかし、地盤と管体、あるいは、継手部における管体相互の動的相互作用は明らかでなく、さらに、実際においては、地盤も管体の接合の程度も一律ではない。本文は、このような観点から、隣りあう二つの異種地盤に敷設された埋設管をバネ・復元系モデルにおきかえ、地盤の2つの地震応答解析により求めた加速度を埋設管に外力として与え、地盤および管体の継手のバネ剛性の変動が、管体の軸方向応答変位の最大値にいかなる影響を与えるかを数値解析により検討したものである。

### 2. 解析方法

#### 2.1 モデル化

隣接する二つの異種地盤を図-1のようにモデル化し、地盤・埋設管系のモデル化を、図-2のように、一つの管体を一質量に、管体の間の継手(メカニカル継手)の剛性を線形バネに、管体と地盤との相互作用を線形せん断バネに置きかえたバネ・復元系とする。また、継手には減衰を考慮する。

#### 2.2 応答解析

まず、任意の地震波(加速度)と、表-1に示した地盤の物理定数を用いて、図-1の地盤の有限要素地震応答解析を行ない、埋設管に外力を与える地盤の応答加速度を求める。得られた埋設加速度を図-2に示すバネ・復元系モデルの外力として与え、ニュードルフのβ法によつて埋設管の応答を計算する。

なお、解析の対象の埋設管の諸元を表-2に、埋設管の応答解析に用いた諸定数を表-3に示す。また、地盤・継手の剛性は文献<sup>3)</sup>を参考にして決めた。さらに、埋設管の応答解析において、管体の外側に厚さ10cmの付加質量を与えた。また、減衰[C]はRayleigh dampingであり、 $[C] = \alpha [K]$  ( $\alpha = 0.5$ )とした。

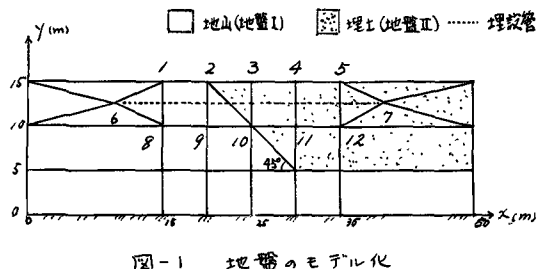


図-1 地盤のモデル化

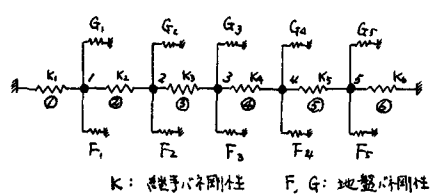


図-2 埋設管のモデル化

表-1 地盤の諸定数

地盤定数	$\gamma > 7.7 \text{ kN/m}^3$	ボアン比	単位体積量(kg)
地盤I	35000	0.35	1.9
地盤II	8000	0.40	1.7

### 3. 計算結果とその考察

#### 3.1 地盤および管体の応答計算

解析に用いたモデルの基本特性は線形と仮定していることと、計算時間、計算機容量等の問題から、加速度のあまり大きくない、離続時間の短い地震波を基盤に与えた。用いた地震は、宮城県の飯野川橋付近の地震で得られた記録で、それを図-3(1)に示す。

次に、図-3(2)(3)は、埋設管設置地盤の地盤の有限要素解析による応答加速度を代表的なもののみを示す。これらの応答加速度には、位相の差が多少有る隙間に認められない。これらの応答加速度と、埋設管モデル(図-2)の入力として解析した結果求めて、埋設管の応答音波を図-4に示す。この図から、軟弱層の埋設管の応答が大きくなることがわかる。

表-2 埋設管の諸元

材質	9"タイル鋼鉄
比重	7.15
内径	300 mm
管厚	15 mm
長さ	5000 mm
重量	0.5307 ton
自重	0.056 t/m

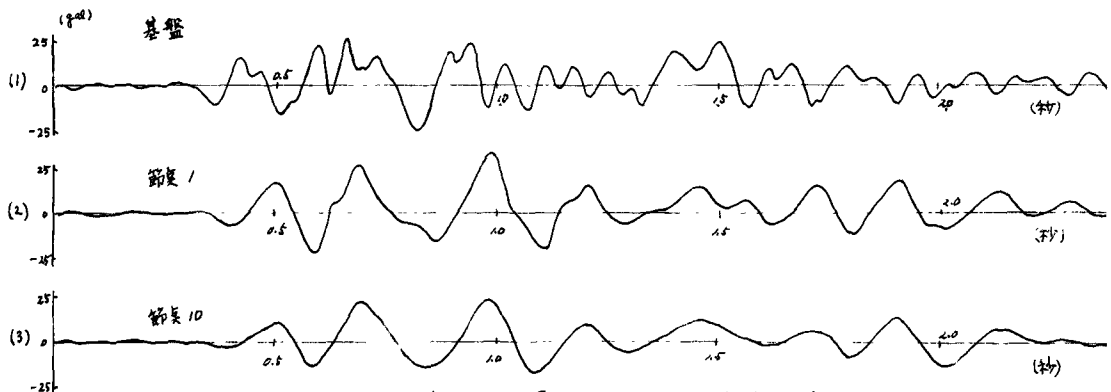


図-3 基盤入力地震波と地盤の絶対応答加速度

$$m=0.178, \quad K=50, \quad F_1=G_1=300, \quad F_{II}=G_{II}=150$$

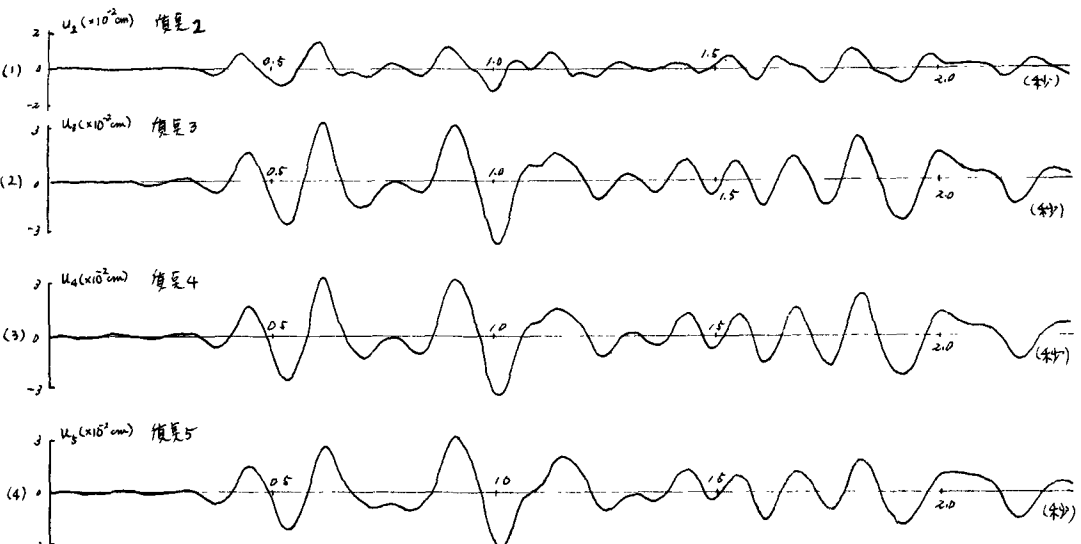


図-4 地盤と管体との相対変位

### 3.2 硬質的変動を考慮した埋設管の応答計算

地盤および管体の緒手のバネ剛性に正規分布をもつ変動量を考慮した場合、管体と地盤、および、管体緒手部の相対変位の最大値の変動を調べる。計算に用いた地盤および緒手のバネ剛性の平均値および変動係数表-3に示す。なお、応答計算は1つのゲート $\times 10^3$ 回行ない、最大応答変位の平均値、標準偏差、変動係数を求めた。

図-5は、変動係数0.5の場合の、各長の地盤と管体の最大相対変位 $u_{i\max}$ 、管体の緒手部の最大変位 $\delta_{i\max}$ の平均値と標準偏差を示す。

表-3 貨物、バネ剛性の平均値と変動係数

	平均値	変動係数
貨物の質量 m	0.178 ± 5%	0
緒手バネ定数 K	50, 10 ± m	0.1, 0.5
F <sub>I</sub>	1000, 300 N/m	"
F <sub>II</sub>	700, 150 N/m	"
G <sub>I</sub>	700, 300 N/m	"
G <sub>II</sub>	350, 150 N/m	"

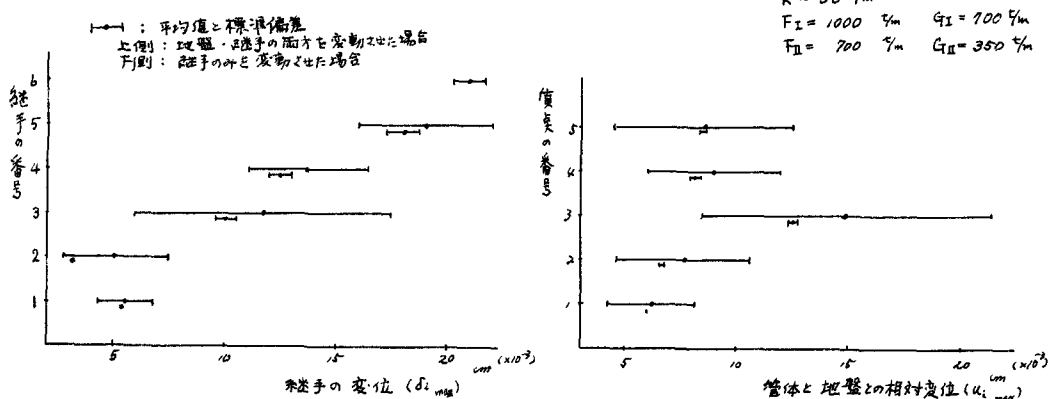


図-5 埋設管の応答の平均値と標準偏差 (1)

この図から地盤および緒手のバネ剛性を全く変動せしむ場合、地盤との相対変位は直角3式、管体の緒手変位は緒手⑥が最大となり、標準偏差は地盤との相対変位に△△△は直角3式、緒手変位に△△△は、緒手③が最も下りくなっている。

このように、緒手の変位は異なり、基礎地盤境界の取扱い側で最大となるが、二側同じく、緒手バネ剛性が10 N/m と小さくした場合と七同様である。また、逆に、地盤のバネ剛性を  $F_I = G_I = 300 \text{ N/m}$ ,  $F_{II} = G_{II} = 150 \text{ N/m}$  と小さくした場合も、図-6(1)と同様に、緒手の変位の変動は緒手③が最大となる△△△。

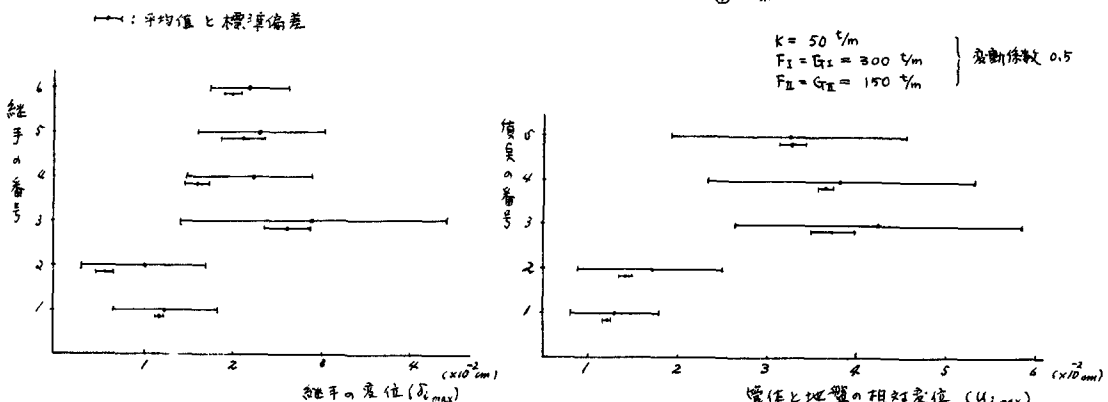


図-6 埋設管の応答の平均値と標準偏差 (2)

また、図-5、6に示すように、継手バネ剛性のみ変動させた場合の最大応答の変動は、地盤バネ剛性の平均値が小さくなるほど大きくなるが、地盤バネ剛性の変動の影響に比べると非常に小さいことがわかる。これを、変動係数で比較すると、表-4の通りとなる。この表から、応答の変動は、主として地盤バネ剛性の変動の影響を受けていることがわかる。なお、表中の\*印は、応答値と極端に大きくなるような計算例を示したもの、これが何を示すかこの計算用いた乱数列の中に重複の地盤定数が非常に小さくす」と記載があるためである。

この他に、継手の剛性の変動を一个所に限定した場合の計算を行なったが、その影響は大きくなる結果となる。

表-4 継手部の最大応答の変動係数

地盤バネ剛性	継手バネ剛性	変動要素		変動係数	$m\delta_{1max}$	$m\delta_{2max}$	$m\delta_{3max}$	$m\delta_{4max}$	$m\delta_{5max}$	$m\delta_{6max}$
		地盤バネ	継手バネ							
$F_I = 1000 \text{ t/m}$	$50 \text{ t/m}$	○	○	0.1	0.01	0.05	0.10	0.03	0.02	0.01
		○	×	*	0.01	0.05	0.10	0.03	0.01	0.01
		×	○	*	0.00	0.01	0.01	0.01	0.01	0.01
		○	○	0.5	0.23	0.49	0.50	0.19	0.16	0.04
		○	×	*	0.23	0.67	0.49	0.19	0.16	0.02
		×	○	*	0.01	0.05	0.04	0.03	0.01	0.03
$F_{II} = 500 \text{ t/m}$	$10 \text{ t/m}$	○	○	*	0.26	0.51	0.55	0.22	0.18	0.02
		○	×	*	0.26	0.50	0.55	0.22	0.20	0.02
		×	○	*	0.00	0.01	0.01	0.00	0.01	0.00
		○	○	地盤I 0.1 地盤II 0.5	0.06	0.06	0.12	0.33	0.17	0.03
		○	○	地盤I 0.5 地盤II 0.1	0.06	0.07	1.28	1.21	0.24	0.03
		×	○	*	0.06	0.07	1.28	1.21	0.24	0.03
$F_I = G_I = 1000 \text{ t/m}$ $F_{II} = G_{II} = 500 \text{ t/m}$	$50 \text{ t/m}$	○	○	0.5*	0.28	0.71	0.52	0.40	0.35	0.32
		○	×	*	0.64	0.64	0.50	0.44	0.35	0.32
		×	○	*	0.08	0.12	0.10	0.10	0.12	0.08

注1) 変動要素欄の(○, ×)印は、変動の有無を示す。

注2)  $m\delta_{imax}$ は、最大変位の変動係数を示す。

#### 4 結論

以上、埋設管の地盤応答モデルであるバネ・復元率におけるバネ剛性の変動が、埋設管の応答の変動にどのよう仕事率成角が調べた。その結果、埋設管の最大応答の変動は、継手バネの変動による影響は殆んど受けず、地盤のせん断バネ剛性の変動に支配されることがわかった。また、この影響の程度は、応答の大きさに随分差し、本文の例のように基礎地盤に敷設された埋設管では、境界付近の軟弱層で最も影響を受ける。本文は、地盤がより管体の継手の剛性を線形バネとして取扱ったが、今後は、非線形特性をもつように仮定し、埋設管モデルを改善していく必要があると思われる。

なお、本研究は、昭和53年度科学研究費「地下構造物のモデル化と応答解析」(研究代表者 久保慶三郎)の補助を受けた行なったものであることを付記する。

#### 参考文献

- 佐武・岸野・浅野：「92年宮城県沖地震による埋設管の被害について」、第1回日本災害科学総合シンポジウム、P.245～P.256、1993年10月
- 高田・長尾：「埋設管の耐震性に対する継手の影響について」、第4回日本地震工学シンポジウム、P.679～P.685、1976